

## II-127 砂防ダムの土砂調節機能と評価法

運 輸 省 正会員 村岡 猛  
 京都大学防災研究所 正会員 芦田 和男  
 京都大学防災研究所 正会員 江頭 進治  
 京都大学大学院 学生員 里深 好文

1. 緒言

河川計画、河川管理において、土砂生産源からの流出土砂の調節は重要な問題であり、斜面崩壊・土石流等による生産土砂の貯留、山地河川からの不安定な土砂の流出の抑制、渓岸の侵食防止、洪水時における流出土砂の調節等の目的で砂防ダムが設けられている<sup>1)</sup>。しかし期待される機能のうち、土砂の貯留機能を除いては定量的に把握されておらず、合理的な河川計画のためには各機能の評価法を確立する必要がある。本報では流水幅が砂防ダムにより縮小されるために生ずる土砂調節機構について実験および数値シミュレーションの両面より検討し、それらの結果に基づいて土砂調節機能の評価法を確立する。

2. 実験の概要

表-1 実験条件

実験は、長さ12m、幅50cmの勾配可変の鋼製循環式水路を用いて、表-1、図-1に示す実験条件の下で行われた。表中の $I_0$ は固定床勾配、 $I_s$ は給砂量に対する平衡勾配である。また $d_m$ は用いた一様砂の粒径である。この条件は Run 1 ではダム堆砂域において常流が生ずることを、Run 2 では射流が生ずることをねらって定めた。実験では $B_d/B=0.5$ の砂防ダムに対して流量  $Q_{min}$ 、給砂勾配  $I_s$  の定常流を与えて平衡河床を形成した後、最小流量  $Q_{min}$ 、最大流量  $Q_{max}$ 、周期  $T$  の洪水波を3~4波与えた。

なお、各実験の河床形態は芦田ら<sup>2)</sup>の領域区分図によると Run 1 では、

Transition、Run 2 では Upper Regime であった。

図-2はRun 1の河床縦断形状の時間的変化である。2 hr、および3 hrのデータは最小流量時のもの、2 hr 33 minのデータは最大流量付近のものである。ダム直上流部の河床位は流量の増加に伴い上昇し、ダム堆砂域の河床位も全体的に上昇していることがわかる。すなわち流量の変化に伴い、ダムの土砂調節容量は変化していると言えよう。この変化のため、図-3に示すように、流出土砂量のピーク値は流入土砂量のピーク値より小さく、かつ、時間的にも遅れが生じている。

図-4はRun 2の河床縦断形状の時間的変化である。60 min、80 minのデータは最小流量時のもの、70 minは最大流量時のものである。Run 2では、流量変化に伴うダム直上流部の河床位の変化はRun 1ほど顕著ではない。これは、最小流量に対する最大流量の比がRun 1では4であるのに対し、Run 2では2程度になっているからである。そのため、ダムの土砂調節容量の変化は小さく流出土砂の調節効果はあまり期待できないが、図-5に示すように、流入土

	$B(cm)$	$B_d(cm)$	$Z_d(cm)$	$I_0$	$I_s$	$Q_{min}(l/s)$	$Q_{max}(l/s)$	$d_m(cm)$	$T(min)$
Run 1	50	25	8	1/56	1/300	4	16	0.0496	60
Run 2	50	25	8	1/30	1/50	7	15	0.2820	20

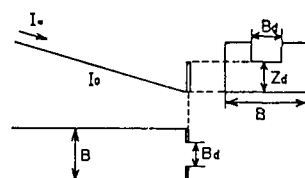


図-1 定義図

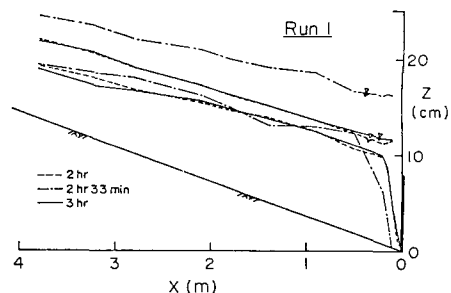


図-2 河床縦断形状 (Run 1)

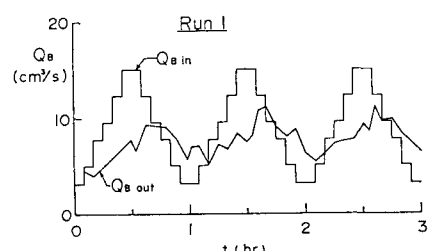


図-3 流入・流出土砂量 (Run 1)

砂と流出土砂のピーク値はかなり差がある。これは各洪水波ごとに流入土砂量と流出土砂量の総量が等しくなく、平衡状態に達していないためである。

### 3. シミュレーション

砂防ダムの土砂調節機能は、砂防ダムを下流端条件としてダム堆砂域の河床変動を計算すれば表現できるはずである。ここでは一様砂を対象として、流れは直線河道全幅にわたって流れるものとし、次のような一次元モデルによるダム堆砂域の河床変動シミュレーションを行う。

$$\text{エネルギー式} : \frac{\partial}{\partial x} \left( \frac{\alpha Q^2}{2g B^2 h^2} \right) + \cos \theta \frac{\partial h}{\partial x} + \frac{\partial z}{\partial x} + \frac{u_*^2}{g R} = 0 \quad (2)$$

$$\text{流砂の連続式} : \frac{\partial z}{\partial t} + \frac{1}{1-\lambda} \cdot \frac{1}{B} \frac{\partial (q_B \cdot B)}{\partial x} = 0 \quad \dots\dots\dots (3)$$

ここに、 $Q$ ：流量、 $\alpha$ ：エネルギー補正係数、 $g$ ：重力加速度、 $B$ ：川幅・河床と基準面のなす角度、 $h$ ：水深、 $z$ ：基準面からの河床高、 $R$ ：

ここに、 $Q$ ：流量、 $\alpha$ ：エネルギー補正係数、 $g$ ：重力加速度、 $B$ ：川幅、 $\theta$ ：河床と基準面のなす角度、 $h$ ：水深、 $z$ ：基準面からの河床高、 $R$ ：径深、 $S$ ： $\sigma / \rho - 1$ 、 $\sigma$ ：砂の密度、 $\rho$ ：水の密度、 $d$ ：粒径、 $q_B$ ：単位幅流水砂量、 $\lambda$ ：間隙率、 $v$ ：断面平均流速、である。下流端では河床位はダム天端、流水幅はダム水通し幅とした。このモデルを Run 2 に適用して得られた流出土砂量を図-5 ( $Q_{Bout(cal.)}$ ) に示す。これによると計算値は実験値をよく再現していることがわかる。

#### 4. 土砂調節機能の評価

評価基準の1つとして、流入土砂量のピーク値と流出土砂量のそれの比を考えると、次元解析により、

となる。ここに  $Q_{Bip}$ : 流入土砂量のピーク値、 $Q_{Bop}$ : 一洪水における流入土砂量と流出土砂量の各総量が等しくなるまで繰り返し洪水波を  $T$ : 洪水周期、 $V$ : ダムの規模を表す代表的な体積である。図-6(a), (b)を結んだものである。シミュレーションでは実河川の  $1/50 \sim 1/1$   $6 \frac{1}{2} s$ 、最大流量  $18 \frac{1}{2} s$ 、周期20分および30分の洪水を与えた。これに対する洪水規模が小さいほど、 $I_*/I_0$  が小さいほど土砂調節機能が大

## 5. 結 語

以上の考察により砂防ダムの土砂調節機能を評価するための基本的な事項が解明された。今後より正確な評価のために、アーマリング現象、水みち侵食等をシミュレーションに取り入れる必要がある。

参考文献 1)日本河川協会:建設省河川砂防技術基準(計画編),山海堂 2)芦田・道上:移動床流れの抵抗と掃流砂量に関する基礎的研究,土木学会論文報告集 第206号,1972

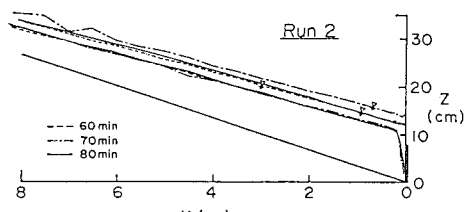


図-4 河床縦断形状 (Run 2)

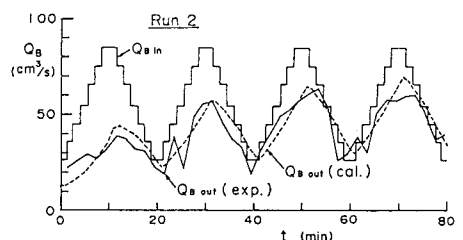
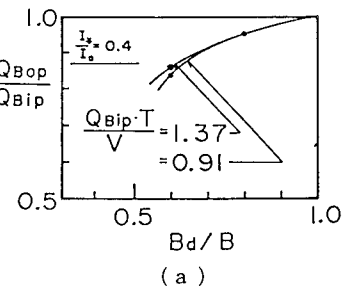


図-5 流入・流出土砂量 (Run 2)



(a)

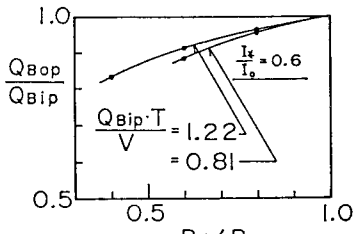


図-6 十砂調節機能

図-6 土砂調節機能